

РОССИЙСКАЯ АКАДЕМИЯ НАУК

СИБИРСКОЕ ОТДЕЛЕНИЕ

А В Т О М Е Т Р И Я

---

2007, том 43, № 6

**ОПТИЧЕСКИЕ ИНФОРМАЦИОННЫЕ ТЕХНОЛОГИИ,  
ЭЛЕМЕНТЫ И СИСТЕМЫ**

УДК 535.41

**ПЕРЕДАТОЧНЫЕ ФУНКЦИИ ИНТЕРФЕРОМЕТРА ФАБРИ – ПЕРО  
С ИЗМЕНЯЮЩЕЙСЯ ВО ВРЕМЕНИ БАЗОЙ.  
Ч. П. РЕЖИМ НЕПОДВИЖНЫХ ЗЕРКАЛ.  
РЕЖИМ «СВЕРХМЕДЛЕННЫХ» КОЛЕБАНИЙ ЗЕРКАЛ\***

**А. П. Кольченко, В. С. Терентьев, Ю. В. Троицкий**

*Институт автоматики и электрометрии СО РАН, г. Новосибирск  
E-mail: kolchenko@iae.nsk.su*

Теоретически исследуется многолучевой интерферометр, зеркала которого совершают малые колебания. Приводятся и анализируются передаточные функции для двух предельных случаев: интерферометра с неподвижными зеркалами и интерферометра, работающего в режиме «сверхмедленных» колебаний зеркал.

**Введение.** В работе [1] отмечено, что основными характеристиками многолучевого интерферометра Фабри – Перо (ИФП), имеющего сравнительно большую базу (длину) или «встроенного» в какую-либо другую оптическую систему, являются не его коэффициенты отражения и пропускания в их обычном понимании, а передаточные функции (ПФ), связывающие выходные поля ИФП с полем засветки с учетом фазовых соотношений. В [1] приводятся общие выражения для ПФ. Они получены в соответствии с законами распространения однородных плоских волн и законами их отражения от медленно движущихся (по сравнению со скоростью света) зеркал. Такой подход к задаче является более адекватным физической ситуации, чем те, которые обычно использовались [2–4].

В данной работе результаты [1] конкретизируются для двух предельных случаев: ИФП с неподвижными зеркалами и ИФП в режиме «сверхмедленных» колебаний, когда характерное время установления поля в резонаторе достаточно мало по сравнению с минимальным периодом колебаний зеркал.

---

\* Работа выполнена при поддержке Российского фонда фундаментальных исследований (грант № 04-02-16356).

**Режим неподвижных зеркал.** Амплитудные коэффициенты отражения и пропускания зеркал считаются комплексными и в общем случае не одинаковыми по разные стороны зеркал:

$$\begin{aligned} r_j &= |r_j| \exp(i\alpha_j); & \tilde{r}_j &= |\tilde{r}_j| \exp(i\tilde{\alpha}_j); \\ t_j &= |t_j| \exp(i\beta_j); & \tilde{t}_j &= |\tilde{t}_j| \exp(i\tilde{\beta}_j) \quad (j=1,2). \end{aligned} \quad (1)$$

Квадраты их модулей есть коэффициенты отражения и пропускания зеркал по интенсивности:

$$R_j = |r_j|^2; \quad \tilde{R}_j = |\tilde{r}_j|^2; \quad T_j = |t_j|^2; \quad \tilde{T}_j = |\tilde{t}_j|^2. \quad (2)$$

Для зеркал с потерями справедливы соотношения

$$\begin{aligned} R_j + T_j + A_j &= 1; & \tilde{R}_j + \tilde{T}_j + \tilde{A}_j &= 1; \\ \psi_j = \beta_j + \tilde{\beta}_j - \alpha_j - \tilde{\alpha}_j &= (2m+1)\pi + 2\Delta\psi_j, \\ 0 \leq |\Delta\psi_j| &\leq \pi \quad (m=0,1,2,\dots, j=1,2). \end{aligned} \quad (3)$$

Здесь  $\psi_j$  – так называемая фаза Ами [5];  $A_j$  и  $\tilde{A}_j$  – коэффициенты потерь;  $\Delta\psi_j$  – дефект фазы Ами. Обычно для диэлектрических зеркал он составляет сотые и тысячные доли процента. Если потери вообще отсутствуют, то  $\Delta\psi_j = 0$ .

Для ИФП с неподвижными зеркалами в неустановившемся режиме или при немонохроматической засветке (например, от двухмодового лазера) основными характеристиками также являются его ПФ. (Основные понятия и обозначения в данной работе, как в [1].)

Для неподвижных зеркал ( $\varepsilon = \varepsilon_1 = 0$ ) сумма в формулах (16) из [1] легко вычисляется:

$$S(t|\omega) = [1 - p(\omega)]^{-1} \{1 - [p(\omega)]^{N(t)+1}\}, \quad p(\omega) = r \exp(i\omega\tau), \quad r = r_1 r_2, \quad (4)$$

и выражения (18) из [1] для ПФ принимают простой вид:

$$\begin{aligned} \Pi_1(t|\omega) &= \tilde{r}_1 + ap(\omega)S(t-\tau|\omega); & \Pi_2(t|\omega) &= b[p(\omega)]^{1/2}S(t-\tau/2|\omega), \\ a &= \tilde{t}_1 t_1 / r_1, & b &= \tilde{t}_1 t_2 / r^{1/2}. \end{aligned} \quad (5)$$

Отсюда для установившегося режима в точности следуют формулы Ами [5] (в наших обозначениях):

$$\begin{aligned} \Pi_1(t|\omega) \rightarrow \hat{r}(\omega) &= \tilde{r}_1 + ap(\omega)[1 - p(\omega)]^{-1}; \\ \Pi_2(t|\omega) \rightarrow \hat{t}(\omega) &= b[p(\omega)]^{1/2}[1 - p(\omega)]^{-1} \quad (t_0 \rightarrow -\infty). \end{aligned} \quad (6)$$

Функции  $\hat{r}(\omega)$  и  $\hat{t}(\omega)$  в данном случае имеют смысл амплитудных коэффициентов отражения и пропускания ИФП для компоненты  $\omega$  поля засветки.

Обычно вместо переменной  $\omega t$  при записи формул (4)–(6) используют переменную  $\zeta$ , переход к которой осуществляется по правилу

$$\begin{aligned} r \exp(i\omega t) &\rightarrow p(\zeta) = |r| \exp(2i\zeta), \\ \zeta &= (\omega - \omega_p)\tau/2, \quad (\omega_p + \alpha_1 + \alpha_2) = 2m\pi. \end{aligned} \quad (7)$$

Здесь  $\omega_p$  – резонансная частота ИФП, определяемая последним условием (7);  $\alpha_1$  и  $\alpha_2$  – фазы коэффициентов отражения зеркал  $r_1$  и  $r_2$ ;  $m$  – целое число (порядок интерференции). При этом формулы (6) будут иметь привычный вид:

$$\hat{r}(\zeta) = \tilde{r}_1 + ap(\zeta)[1 - p(\zeta)]^{-1}; \quad \hat{t}(\zeta) = b[p(\zeta)]^{1/2}[1 - p(\zeta)]^{-1}. \quad (8)$$

Величина  $2\zeta$  имеет смысл относительной отстройки от резонанса (в единицах межмодового интервала  $v = c/2L$ ).

Резонансный множитель в этих формулах можно представить в виде

$$\begin{aligned} [1 - p(\zeta)]^{-1} &= (1/2\sqrt{|r|})[\Delta^2 + \sin^2(\zeta)]^{-1/2} \exp[i\gamma(\zeta)], \\ \Delta &= (1 - |r|)/2\sqrt{|r|}, \quad \gamma(\zeta) = \arctg \{[(1 + |r|)/(1 - |r|)] \operatorname{tg}(\zeta)\} - \zeta, \end{aligned} \quad (9)$$

где  $\Delta$  – характерная ширина резонанса (величина, обратная «остроте»), которая обычно много меньше  $v$ . Полуширина резонанса  $\Delta_p$  на уровне 0,5 есть

$$\Delta_p = \arcsin(\Delta). \quad (10)$$

Если  $\Delta \ll 1$ , то  $\Delta_p \approx \Delta$ . Это имеет место при условии

$$1 - |r| \ll 1, \quad (11)$$

т. е. для хорошо отражающих зеркал (различие между  $\Delta_p$  и  $\Delta$  составляет менее 0,1 % уже при  $|r| \leq 0,8$ ).

Из (4) можно найти характерное время установления  $\tau_p$  поля в резонаторе:

$$\begin{aligned} \tau_p &\equiv \tau_p(|r|) = N_p \tau, \quad N_p = [\ln(1/|r|)^{-1}] \\ (\tau_p(0) &= 0, \quad \tau_p(1/e) = \tau, \quad \tau_p(1) = \infty), \end{aligned} \quad (12)$$

которое выражается целым числом  $N_p$  (от числа, заключенного в квадратные скобки) интервалов  $\tau$ . Если  $|r|$  близко к единице (условие (11)), то в первом приближении

$$\tau_p \cong \tau [(1 - |r|)^{-1}] \quad (1 - |r| \ll 1). \quad (13)$$

Формула (13) по сравнению с точной формулой (12) дает относительную ошибку (в сторону увеличения  $\tau_p$ ) менее 1 % для  $|r| \geq 0,98$ . При этом можно положить

$$N_p \approx [Q_p], \quad Q_p = 1/\Delta_p, \quad (14)$$

где  $Q_p$  имеет смысл добротности резонатора. Отметим, что и в ИФП с колеблющимися зеркалами при малых амплитудах колебаний время установления по величине будет практически тем же самым, т. е. определяться формулами (12) или (13).

**Режим «сверхмедленных» колебаний.** Можно показать, что если время установления  $\tau_p$  очень мало по сравнению с минимальным периодом колебаний зеркал:

$$\tau_p \ll T_{\min} \quad (T_{\min} = 2\pi/\Omega_{\max}), \quad (15)$$

то в первом приближении в выражении (16) из [1] для  $S(t|\omega)$  можно принять

$$f_1(t - n\tau) \approx f_1(t); \quad p_n(t) \approx nf(t). \quad (16)$$

Очевидно, что при этом надо пренебречь всеми сдвигами  $\tau$  в аргументах всех функций и считать  $N(t) = \infty$ . Учитывая это обстоятельство, для  $S(t, \omega)$  получаем

$$S(t|\omega) = [1 - p(t, \omega)]^{-1} \exp[i\varepsilon_1 f_1(t)],$$

$$p(t, \omega) = r \exp[i\omega\tau + i\varepsilon f(t)], \quad f(t) = g_2 f_2(t) - g_1 f_1(t), \quad (17)$$

$$\varepsilon = h\omega\tau, \quad \varepsilon_1 = h_1\omega\tau/2, \quad g_j = \delta x_j/\delta L, \quad \delta L = \delta x_1 + \delta x_2.$$

Соответственно для ПФ (18) из [1] получаем

$$\begin{aligned} \Pi_1(t|\omega) &= \tilde{r}_1 \exp[i\varepsilon_1 f_1(t)] + a S(t|\omega) p(t, \omega); \\ \Pi_2(t|\omega) &= b S(t|\omega) [p(t, \omega)]^{1/2}. \end{aligned} \quad (18)$$

Коэффициенты  $a, b$  здесь и далее такие, как в (5).

Из этих выражений видно, что эффект от колебаний зеркал проявляется двояким образом: во-первых, через резонансный множитель  $[1 - p(t, \omega)]^{-1}$  в  $S(t|\omega)$  и, во-вторых, через экспоненциальный фазовый множитель в  $S(t|\omega)$  и  $\tilde{r}_1$ . Резонансный эффект является главным в том смысле, что он накапливается за много обходов резонатора светом и может сильно влиять как на фазу, так и на амплитуду резонанса. Наиболее ярко он проявляется в том случае, когда колебания зеркал имеют одинаковые амплитуды ( $g_1 = g_2$ ) и зеркала движутся в противофазе ( $f_1(t) = -f_2(t)$ ). При этом ИФП ведет себя как «гармошка» с неподвижной средней плоскостью. Если колебания зеркал происходят с одинаковыми амплитудами и в фазе (ИФП при этом совершает колебания вдоль оси  $X$  как единое целое), то  $f(t) = 0$  и резонансный эффект исчезает. Однако это имеет место только в данном приближении и при  $g_1 = g_2$ . В общем случае резонансный эффект всегда имеет место.

Переход к переменной  $\zeta$  осуществляется по правилу (7) с заменой  $\omega$  параметром  $\omega_p$  в  $\varepsilon$  и  $\varepsilon_j$ . Замена производится на основании условия

$$\omega_p \tau \gg |\zeta|, \quad (19)$$

которое практически всегда выполняется. Например, для оптической области и расстояния между зеркалами  $L$  порядка 1 см – 1 км величина  $\omega_p \tau$  имеет

порядок  $10^5 - 10^{10}$ , тогда как обычно при работе в области одного резонанса параметр  $|\zeta| \lesssim 1$ . При этом вместо (12) для ПФ получаем формулы

$$\begin{aligned} \Pi_1(t|\zeta) &= \tilde{r}_1 \exp[i\delta_1(t)] + aS(t|\zeta)p(t,\zeta); \quad \Pi_2(t|\zeta) = bS(t|\zeta)[p(t,\zeta)]^{1/2}, \\ S(t,\zeta) &= [1 - p(t,\zeta)]^{-1} \exp[i\delta_1(t)], \quad p(t,\zeta) = |r| \exp[2i\zeta + 2i\delta(t)], \quad (20) \\ \delta(t) &= \delta_2(t) - \delta_1(t) = \varepsilon_p f(t), \quad \delta_j(t) = \varepsilon_{pj} f_j(t), \\ \varepsilon_p &= h\omega_p\tau, \quad \varepsilon_{pj} = h_j \omega_p \tau / 2 \quad (j=1,2). \end{aligned}$$

Параметр  $\varepsilon_p$  имеет смысл диапазона относительной (в единицах  $v = c/2L$ ) частотной перестройки интерферометра из-за колебаний зеркал. Если  $\varepsilon_p \gg 1$ , то перестройка охватывает большое число порядков интерференции (межмодовых интервалов). Если  $\varepsilon_p$  порядка единицы, то перестройка происходит в пределах одного-двух межмодовых интервалов. Наконец, если  $\varepsilon_p \ll 1$ , то ИФП перестраивается лишь в малой области  $|\zeta| \ll v$ . Заметим, что (20) отличается от (8) лишь наличием фазового множителя  $\exp[i\delta_1(t)]$  и зависимостью  $p(t, \zeta)$  от времени.

Поскольку колебания зеркал приводят к угловой модуляции волн в резонаторе, то поле в резонаторе и соответственно выходные поля будут состоять из бесконечной дискретной совокупности волн с разными частотами [1]. В частности, если периоды колебаний зеркал соизмеримы, то

$$\begin{aligned} E_j(t) &= \int_{-\infty}^{+\infty} \sum_m E_{jm}(t, \omega) \exp(-i\omega_m t) d\omega \quad (m=0, \pm 1, \pm 2, \dots; j=1,2), \\ E_{jm}(t, \omega) &= \Pi_{jm}(\zeta) [E_0(\omega) \exp(i\kappa x_1)], \quad (21) \\ \zeta &= (\omega - \omega_p)\tau/2, \quad \omega_m = \omega + m\Omega, \quad T = 2\pi/\Omega. \end{aligned}$$

Здесь  $T$  – основной (максимальный) период колебаний, а

$$\Pi_{jm}(\zeta) = T^{-1} \int_{-T/2}^{+T/2} \Pi_j(t|\zeta) \exp(im\Omega t) dt \equiv \mathcal{F}_m[\Pi_j(t|\zeta)]. \quad (22)$$

Величины  $\Pi_{jm}(\zeta)$  – это ПФ на частотах  $\omega_m$ , т. е. коэффициенты фурье-разложения функции  $\Pi_j(t|\zeta)$  (см. формулы (22) в [1]).

Приведем результаты вычислений  $\Pi_{jm}(\zeta)$  для одного простого, но практически важного случая, когда оба зеркала совершают гармонические колебания с одинаковой частотой, т. е. когда функции движения зеркал (1) из [1] имеют вид

$$f_j(t) = \sin(\Omega t + \varphi_j) \quad (j=1,2). \quad (23)$$

Тогда

$$\begin{aligned} f(t) &= g \sin(\Omega t + \varphi), \\ g &= |g_{12}|, \quad \varphi = \arg(g_{12}), \quad g_{12} = g_2 \exp(i\varphi_2) - g_1 \exp(i\varphi_1). \end{aligned} \quad (24)$$

Используя известную формулу разложения

$$\exp[iz \sin(x)] = \sum_m J_m(z) \exp(imx) \quad (m=0, \pm 1, \pm 2, \dots), \quad (25)$$

где  $J_m(z)$  – функции Бесселя, выражения для  $\Pi_j(t|\zeta)$  можно представить в следующем виде:

$$\Pi_j(t|\zeta) = \sum_m \Pi_{jm}(\zeta) \exp(-im\Omega t) \quad (j=1,2),$$

$$\Pi_{1m}(\zeta) = \tilde{r}_1 (-1)^m J_m(\varepsilon_1) \exp(-im\varphi) + a A_m(\zeta), \quad \Pi_{2m}(\zeta) = b B_m(\zeta),$$

$$A_m(\zeta) = (-1)^m \sum_{n=0}^{\infty} [|r| \exp(2i\zeta)]^{n+1} J_m(a_n) \exp(im\alpha_n), \quad \alpha_n = \arg(a_n),$$

$$B_m(\zeta) = (-1)^m \sum_{n=0}^{\infty} [|r| \exp(2i\zeta)]^{n+1/2} J_m(b_n) \exp(im\beta_n), \quad \beta_n = \arg(b_n), \quad (26)$$

$$a_n = (n+1)\varepsilon_p g \exp(i\varphi) + \varepsilon_{p1} \exp(i\varphi_1),$$

$$b_n = (n+1/2)\varepsilon_p g \exp(i\varphi) + \varepsilon_{p1} \exp(i\varphi_1).$$

Коэффициенты  $\Pi_{jm}(\zeta)$  можно вычислить и непосредственно по формуле (22), не прибегая к разложению (25), – результат будет такой же.

Полоса пропускания интерферометра по низкочастотному каналу (по  $\Omega$ ) определяется зависимостью коэффициентов  $\Pi_{jm}(\zeta)$  от  $\Omega$ , а его чувствительность к перемещению зеркал – первой производной  $|\Pi_{jm}(\zeta)|^2$  по  $\zeta$  в точке  $\zeta = \Delta/2$ . Из (26) видно, что  $\Pi_{jm}(\zeta)$  не зависят от  $\Omega$ , т. е. в этом приближении полоса пропускания интерферометра по низкочастотному каналу бесконечно велика и никак не связана с его чувствительностью, которая может быть любой.

Из (26) также нетрудно понять, что если значение  $\varepsilon$  достаточно мало, а именно

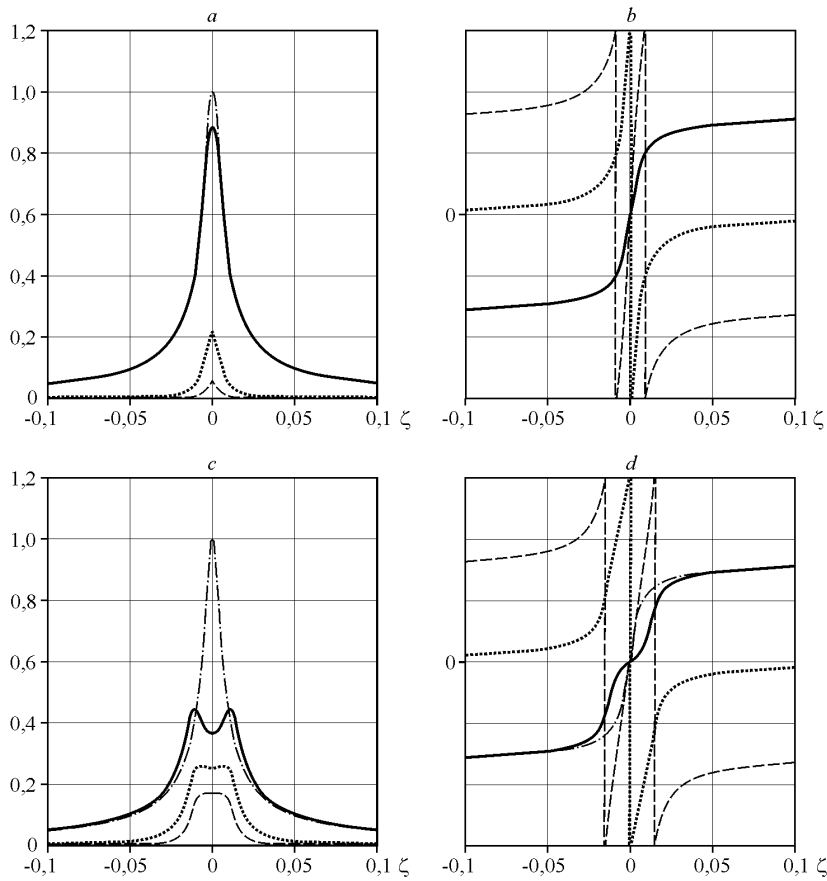
$$\varepsilon_p N_p \ll 1 \quad (N_p = \tau_p / \tau), \quad (27)$$

то  $J_m(z)$  быстро уменьшаются с ростом  $m$ , так что в (21) вместо бесконечного ряда достаточно будет оставить только три первых слагаемых с  $m=0, \pm 1$ .

На рисунке показаны типичные зависимости модуля и фазы функций  $A_m(\zeta)$ :

$$\begin{aligned} A_m(\zeta) &= a_m(\zeta) \exp[i\alpha_m(\zeta)], \\ a_m(\zeta) &= |A_m(\zeta)|, \quad \alpha_m(\zeta) = \arg(A_m(\zeta)). \end{aligned} \quad (28)$$

Почти такие же зависимости (отличие составляет несколько процентов) получаются и для  $B_m(\zeta)$ , а также для случая, когда оба зеркала совершают колебания в противофазе с одинаковыми амплитудами. Характерным отличием  $a_m(\zeta)$  от соответствующей «аппаратной» функции для неподвижных зеркал  $a(\zeta)$  является наличие «провала» в центре при достаточно больших амплиту-



Модуль  $a_m(\zeta)$  и фаза  $\alpha_m(\zeta)$  функций  $A_m(\zeta)$  для  $m = 0, 1, 2$ : при  $\varepsilon_p = \Delta$  (a, b) и  $\varepsilon_p = 5\Delta$  (c, d). Первое зеркало неподвижное, второе колеблется по синусоидальному закону,  $|r| = 0,99$ . (Сплошные линии (a, c) соответствуют  $a_0(\zeta)$ , точечные –  $a_1(\zeta)$ , пунктирные –  $a_2(\zeta)$ , штрихпунктирные –  $a_3(\zeta)$ . Сплошные линии (b, d) соответствуют  $\alpha_0(\zeta)$ , точечные –  $\alpha_1(\zeta)$ , пунктирные –  $\alpha_2(\zeta)$ , штрихпунктирные –  $\alpha_3(\zeta)$ )

дах колебаний зеркал ( $\varepsilon_p > \Delta$ ). Фазовые характеристики  $\alpha_m(\zeta)$  («перегибы» или даже смена знака) ведут себя адекватным образом.

**Заключение.** В представленной работе рассмотрено приближение, которое означает, что пренебрегается всеми эффектами запаздывания из-за конечной скорости света ( $\tau = 0$ ). Практически это приближение реализуется только в малобазовых ИФП с длинами меньше или порядка 100 м. Однако его часто применяют в работах по длиннобазовым интерферометрам, которые планируется использовать в детекторах гравитационных волн (см., например, [4]). В этой связи заметим, что по предварительным данным [2, 6] принимаемый сигнал может иметь частоту от десятков до тысяч герц ( $T \sim 10^{-1} - 10^{-3}$  с). Тогда из соображений чувствительности базы ИФП должна быть порядка нескольких километров, а его добротность  $Q_p \gtrsim 10^4$ . В таком случае  $\tau \sim 10^{-5}$  с,  $\tau_p \sim \tau Q_p \gtrsim 10^4$  с, т. е. данное приближение здесь заведомо неприменимо.

## СПИСОК ЛИТЕРАТУРЫ

1. **Кольченко А. П., Терентьев В. С., Троицкий Ю. В.** Передаточные функции интерферометра Фабри – Перо с изменяющейся во времени базой. Ч. I. Общая теория // Автометрия. 2007. **43**, № 3. С. 105.
2. **Mason J. E.** Signal Extraction and Optical Design for an Advanced Gravitational Wave Interferometer. Pasadena, California: California Institute of Technology, 2001.
3. **Redding D., Regehr M., Sievers L.** Dynamic models of Fabry-Perot interferometers // Appl. Opt. 2002. **41**, N 15. P. 2894.
4. **Wise S., Mueller G., Reitze D. et al.** Linewidth-broadened Fabry-Perot cavities within future gravitational wave detectors // Class. Quantum Grav. 2004. **21**. P. S1031.
5. **Троицкий Ю. В.** Многолучевые интерферометры отраженного света. Новосибирск: Наука, 1985.
6. **Брагинский В. Б.** Гравитационно-волновая астрономия: новые методы измерений // УФН. 2000. **170**, № 7. С. 743.

*Поступила в редакцию 12 декабря 2005 г.*

---